

# [Abbildungen = Images]

Objektyp: **Appendix**

Zeitschrift: **Bericht der Eidgenössischen Kommission zur Überwachung der Radioaktivität**

Band (Jahr): **9 (1965)**

PDF erstellt am: **30.06.2024**

## **Nutzungsbedingungen**

Die ETH-Bibliothek ist Anbieterin der digitalisierten Zeitschriften. Sie besitzt keine Urheberrechte an den Inhalten der Zeitschriften. Die Rechte liegen in der Regel bei den Herausgebern.

Die auf der Plattform e-periodica veröffentlichten Dokumente stehen für nicht-kommerzielle Zwecke in Lehre und Forschung sowie für die private Nutzung frei zur Verfügung. Einzelne Dateien oder Ausdrucke aus diesem Angebot können zusammen mit diesen Nutzungsbedingungen und den korrekten Herkunftsbezeichnungen weitergegeben werden.

Das Veröffentlichen von Bildern in Print- und Online-Publikationen ist nur mit vorheriger Genehmigung der Rechteinhaber erlaubt. Die systematische Speicherung von Teilen des elektronischen Angebots auf anderen Servern bedarf ebenfalls des schriftlichen Einverständnisses der Rechteinhaber.

## **Haftungsausschluss**

Alle Angaben erfolgen ohne Gewähr für Vollständigkeit oder Richtigkeit. Es wird keine Haftung übernommen für Schäden durch die Verwendung von Informationen aus diesem Online-Angebot oder durch das Fehlen von Informationen. Dies gilt auch für Inhalte Dritter, die über dieses Angebot zugänglich sind.

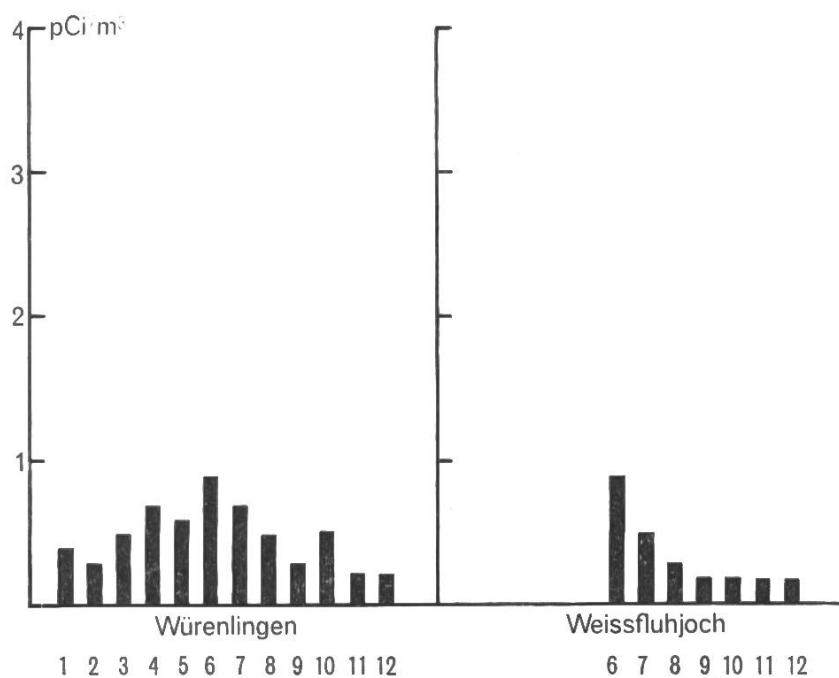
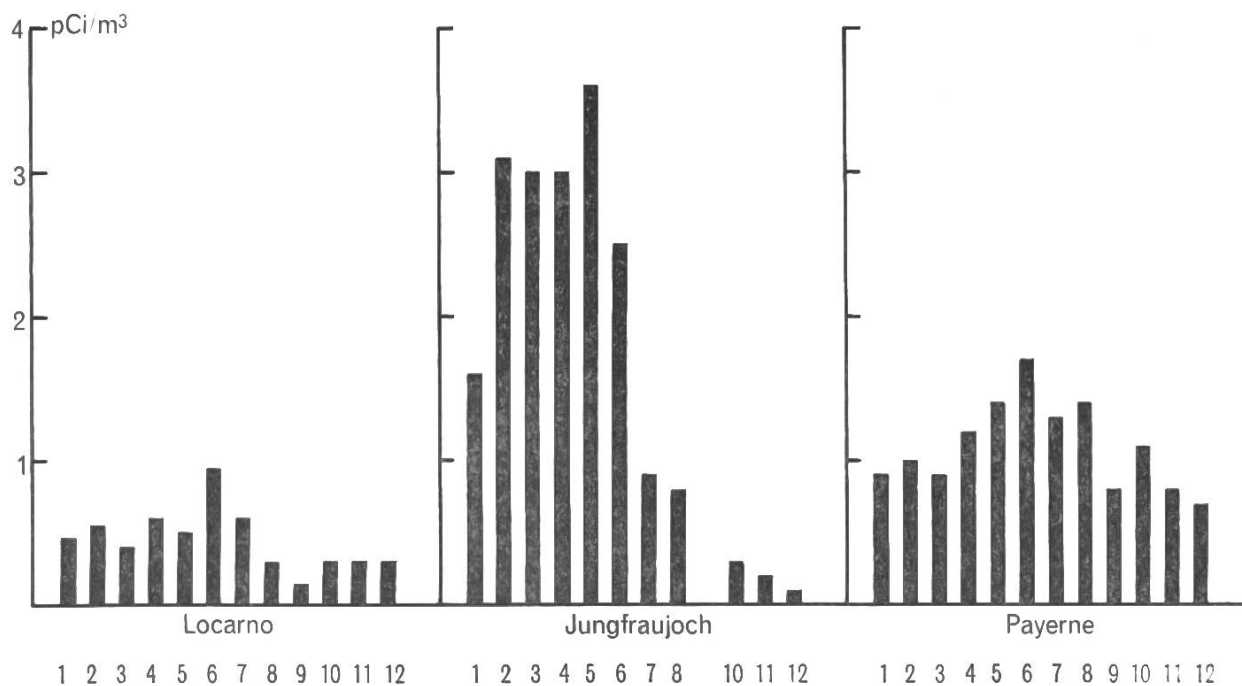


Fig. 1. Monatliche Mittelwerte der spezifischen Gesamt-Beta-Aktivität der Luft, bezogen auf 760 mm Hg und 0° C, für die Messstellen Jungfrauoch, Locarno, Payerne, Weissfluhjoch und Würenlingen.

Fig. 1. Moyennes mensuelles de l'activité spécifique bêta totale de l'air, à 760 mm Hg et 0° C, mesurées aux stations du Jungfrauoch, Locarno, Payerne, Weissfluhjoch et Würenlingen.

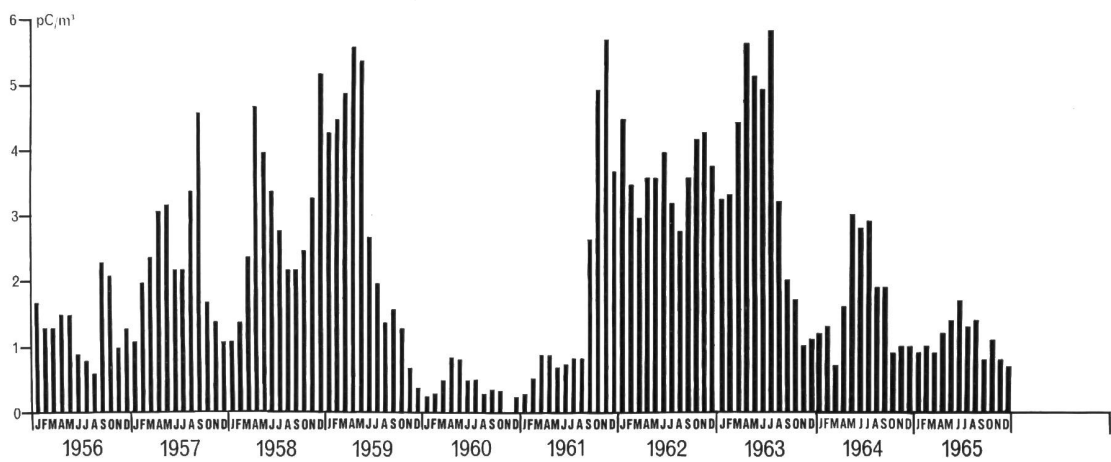


Fig. 2. Monatliche Mittelwerte der spezifischen Gesamt-Beta-Aktivität der Luft, bezogen auf 760 mm Hg und 0° C, für die Messstelle Payenne von 1956 bis 1965.  
 Fig. 2. Moyennes mensuelles de l'activité spécifique bêta totale de l'air, à 760 mm Hg et 0° C, mesurées à la station de Payenne de 1956 à 1965.

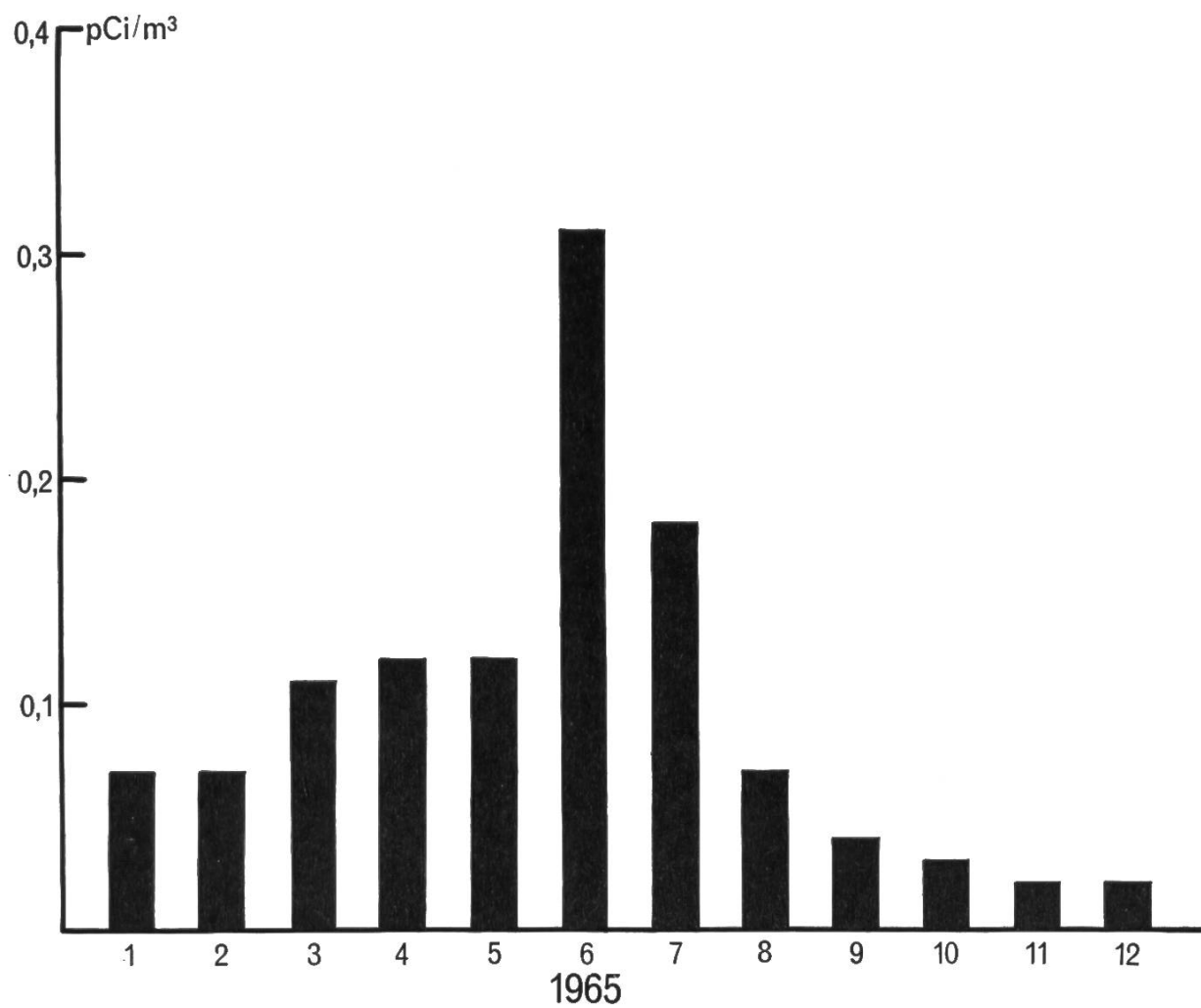


Fig. 3. Monatliche Mittelwerte der spezifischen Gesamt-Beta-Aktivität der Luft, bezogen auf 760 mm Hg und 0° C, für die Messstelle Freiburg.

Fig. 3. Moyennes mensuelles de l'activité spécifique bêta totale de l'air, à 760 mm Hg et 0° C, mesurées à la station de Fribourg.

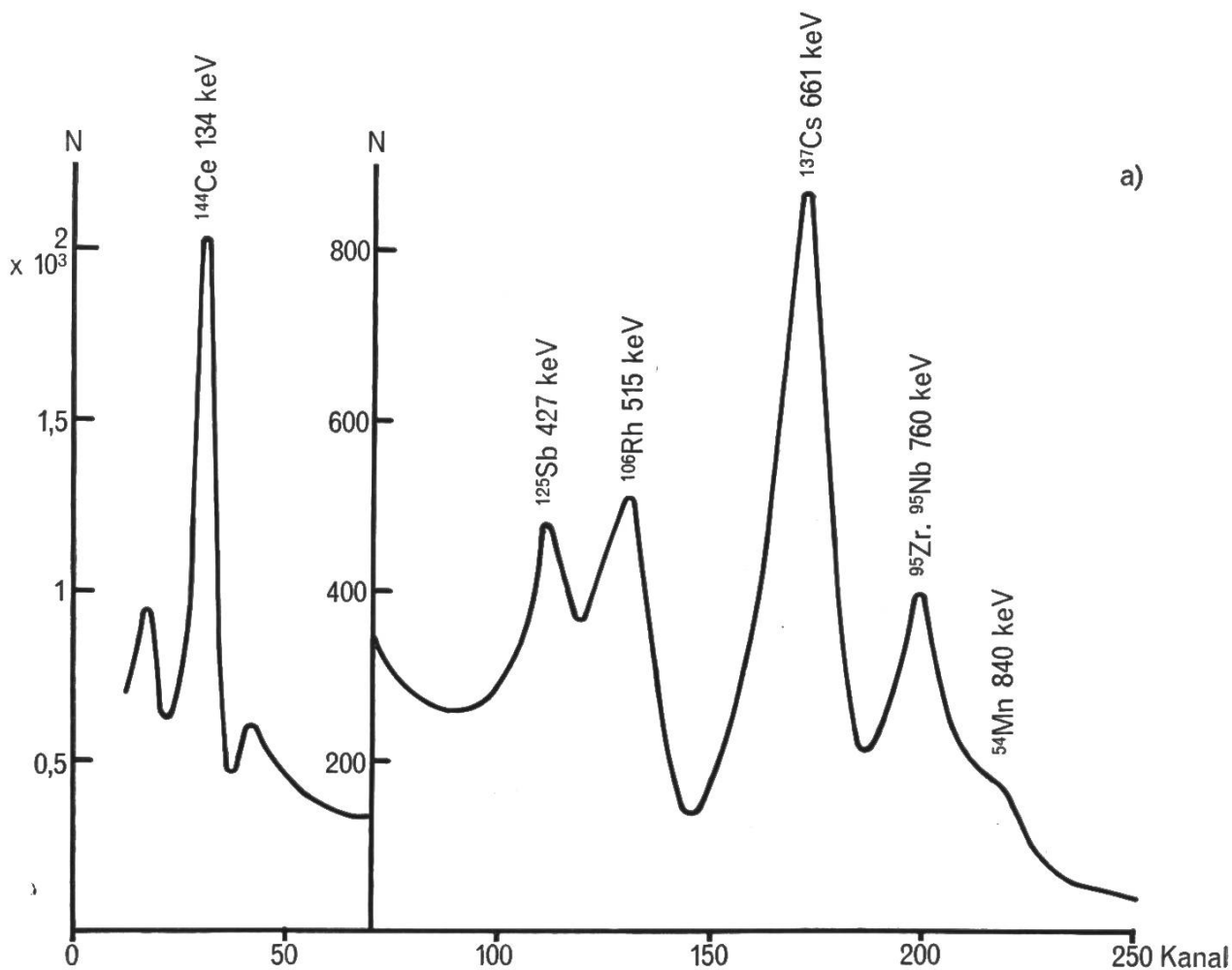


Fig. 4. a) Gamma-Spektrum des Luftfilters von Freiburg, gesammelt 11.-18.6.65, gemessen 22.12.65.

Fig. 4. a) Spectre gamma d'un filtre d'air; prélèvement: Fribourg 11.-18.6.65; mesure effectuée le 22.12.65.

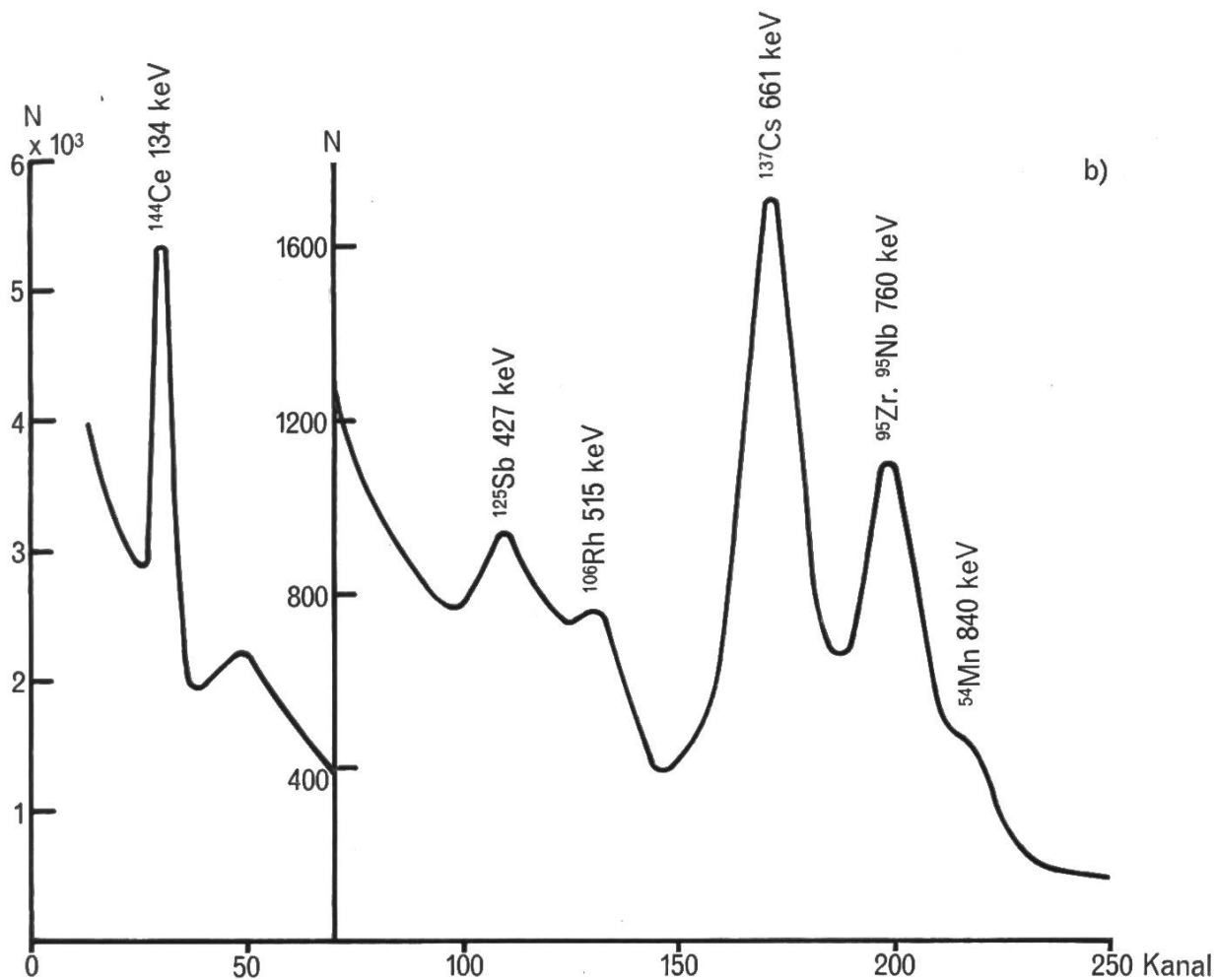


Fig. 4. b) Gamma-Spektrum von Gras aus der Ostschweiz, gesammelt 15.6.65, gemessen 22.12.65.

Fig. 4. b) Spectre gamma d'herbe de Suisse orientale, récoltée le 15.6.65, mesurée le 22.12.65.

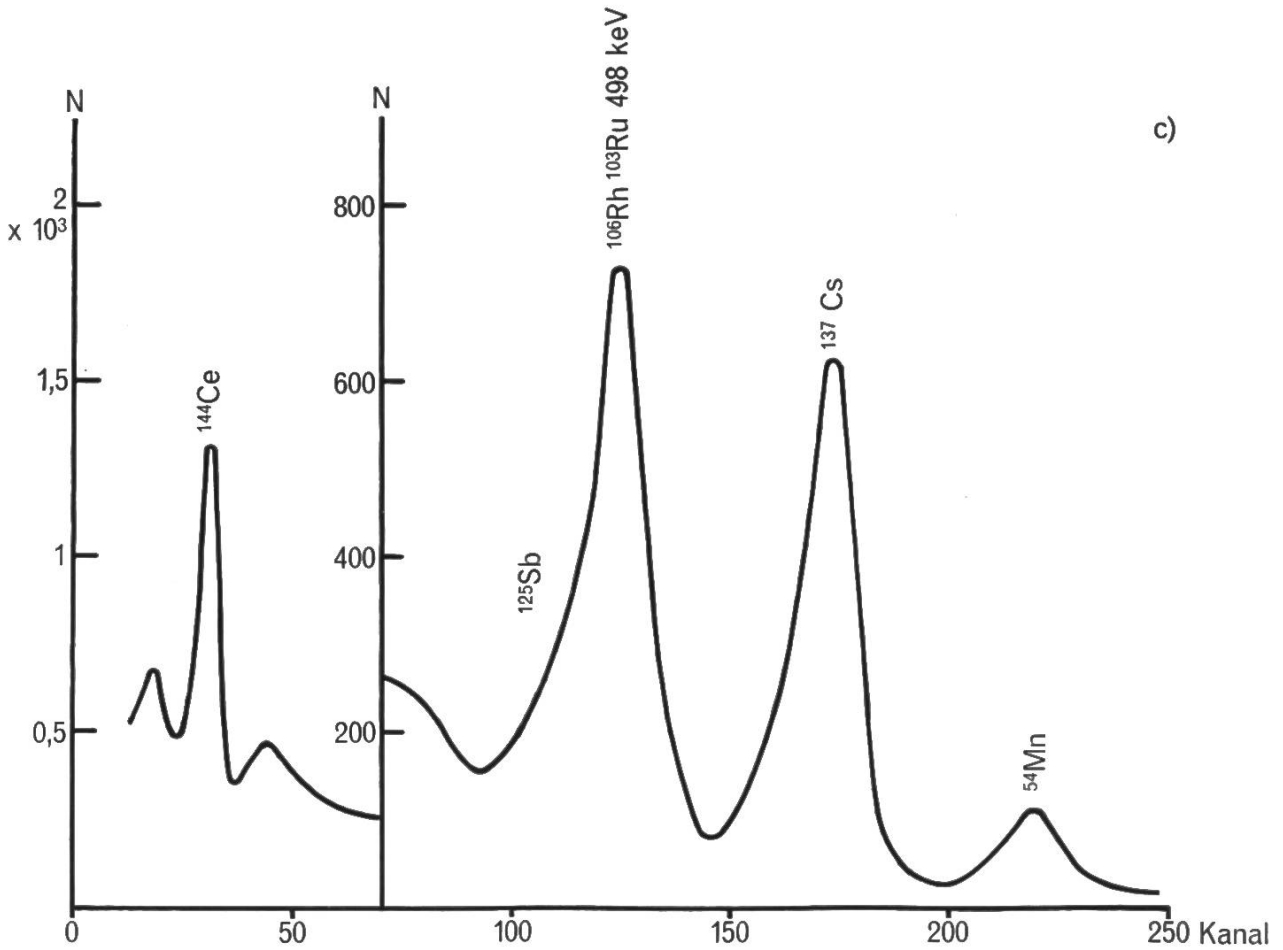


Fig. 4. c) Gamma-Spektrum der Luftfilter von Freiburg, Locarno, Romanshorn und Saignelégier, gesammelt 24.9.–8.10.65, gemessen 23.12.65.

Fig. 4. c) Spectre gamma des filtres d'air de Fribourg, Locarno, Romanshorn et Saignelégier; prélèvements: 24.9.–8.10.65; mesures effectuées le 23.12.65.

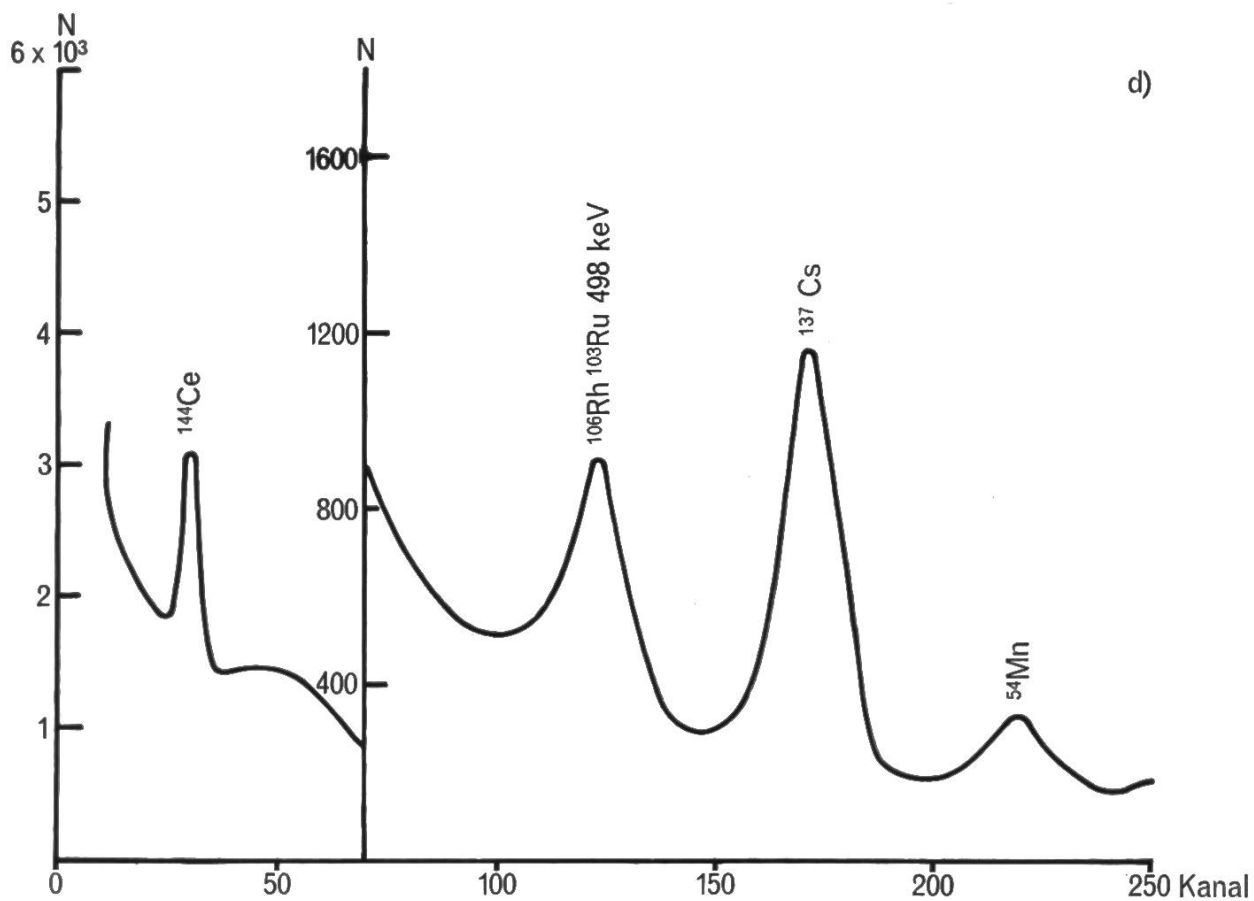


Fig. 4. d) Gamma-Spektrum von Gras aus Arenenberg, gesammelt 6.10.65, gemessen 20.12.65.

Fig. 4. d) Spectre gamma d'herbe d'Arenenberg, prélevé le 6.10.65, mesuré le 20.12.65.

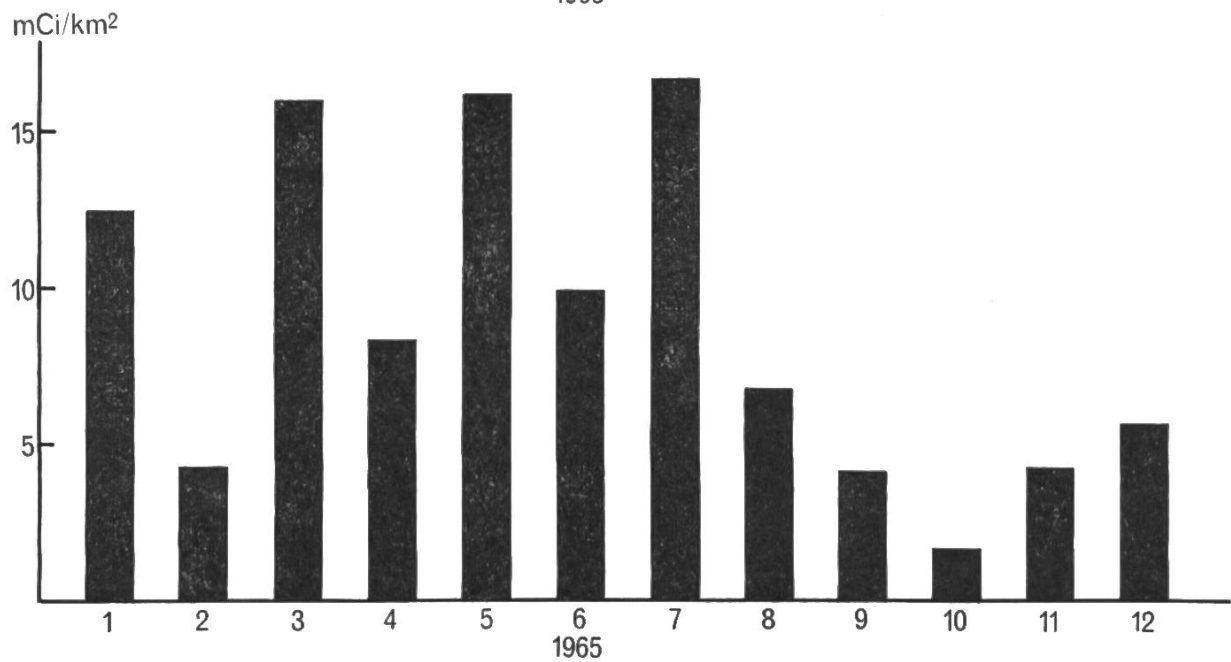
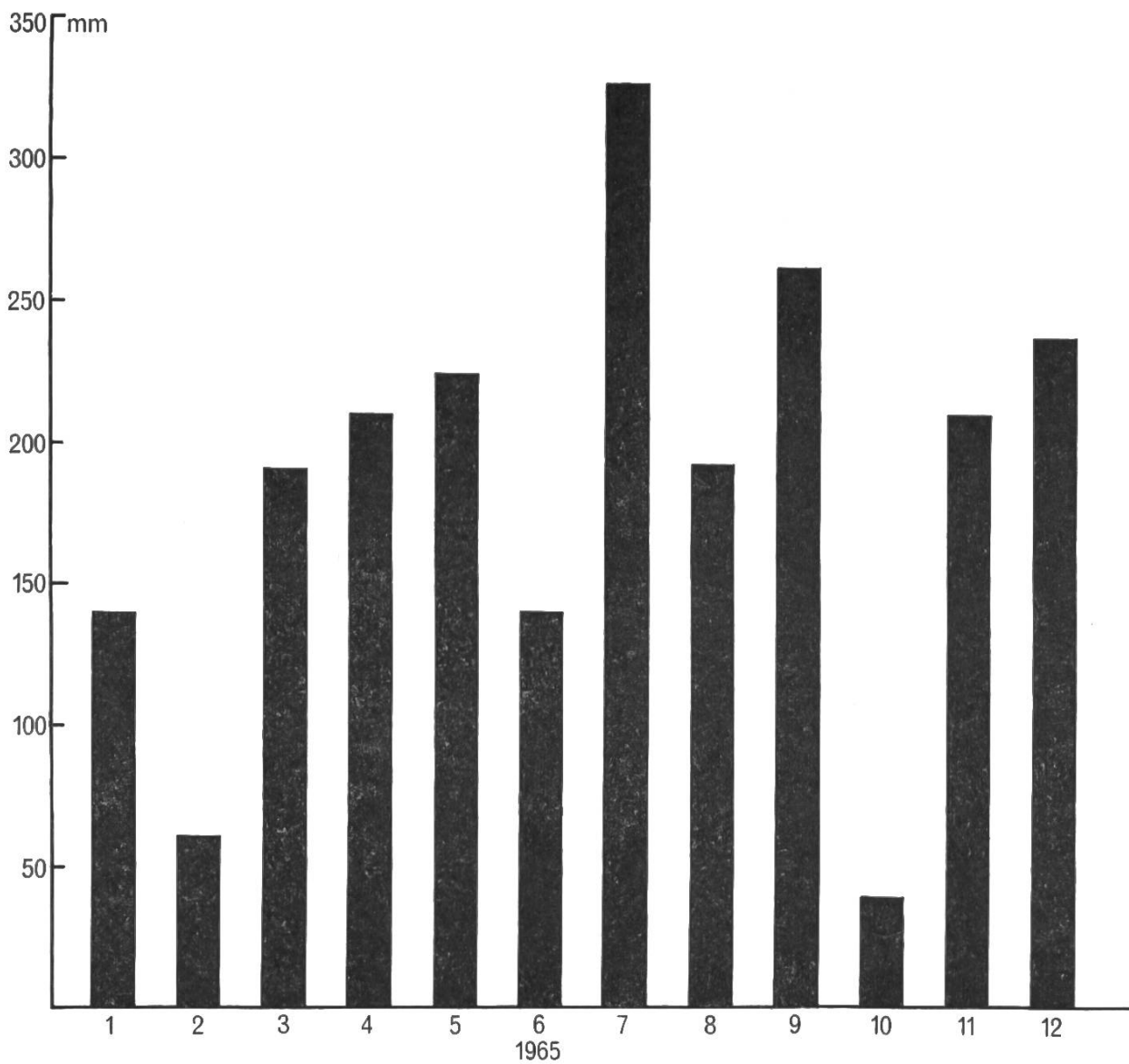


Fig. 5. Monatliche Niederschlagsmenge (oben) und monatliche, dem Erdboden durch Niederschlag zugeführte Gesamt-Beta-Aktivität pro km<sup>2</sup> Bodenfläche (unten) für die Messstelle Valsainte.

Fig. 5. Quantité mensuelle des précipitations (en haut) et activité bêta totale accumulée mensuellement par km<sup>2</sup> au sol par les précipitations (en bas) pour la station de La Valsainte.

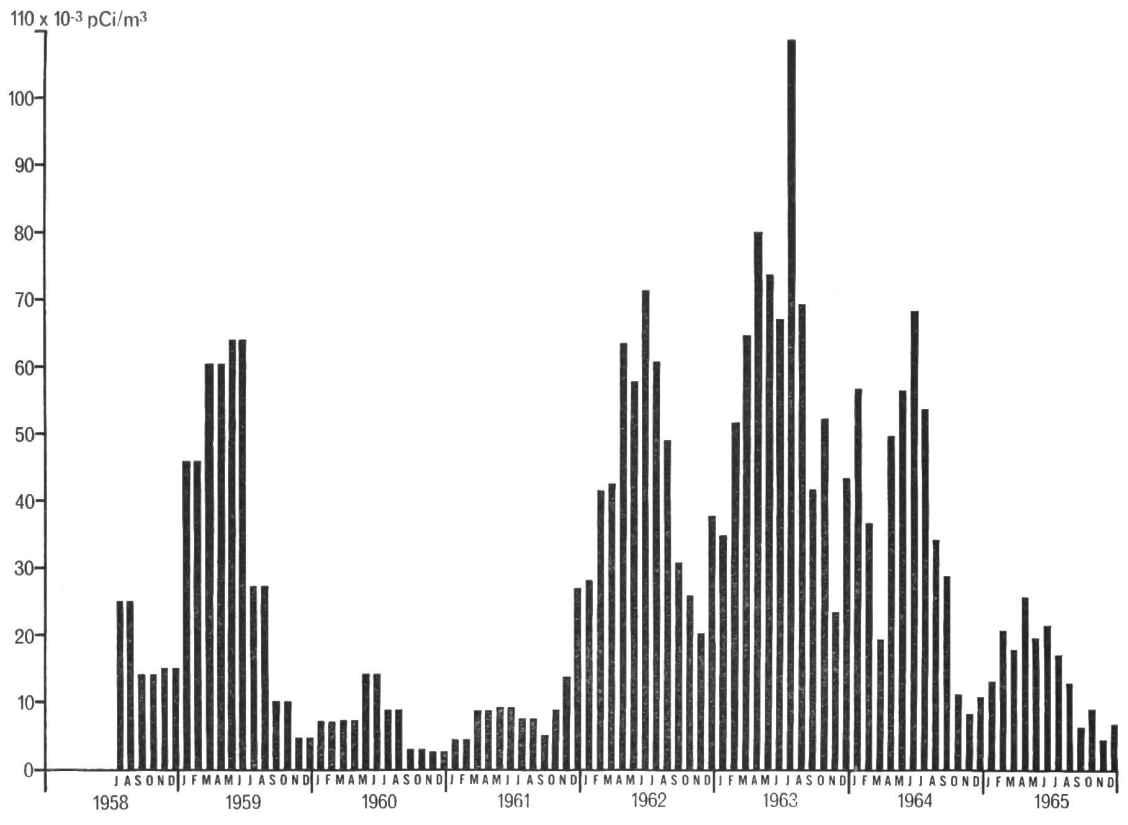


Fig. 6. Monatliche Mittelwerte der spezifischen Cs-137-Aktivität der Luft, bezogen auf 760 mm und 0° C, für die Messstelle Locarno von 1958 bis 1965.

Fig. 6. Moyennes mensuelles de l'activité spécifique du Cs-137 dans l'air, à 760 mm Hg et 0° C, collecté à Locarno de 1958 à 1965.

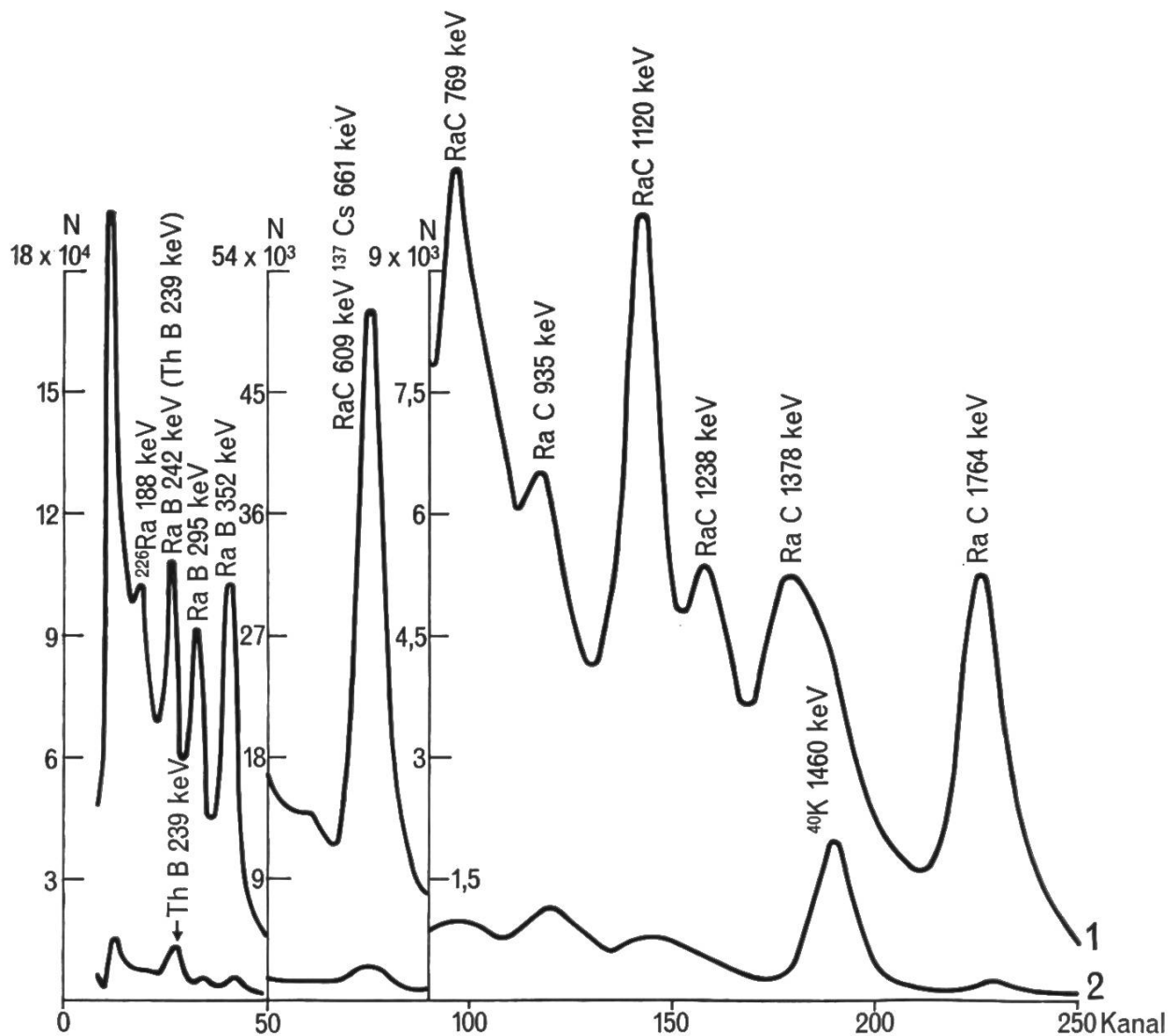


Fig. 7. Gamma-Spektren von Erdproben aus Teufen, 10 m von der Abfalldéponie der Leuchtfarbenfabrik Zeller, entnommen am 14.10.65.

Kurve 1: 0–5 cm Tiefe

Kurve 2: 50–75 cm Tiefe.

Fig. 7. Spectres gamma d'échantillons du sol de Teufen, à 10 m du lieu de dépôt des déchets de la fabrique de matières lumineuses Zeller, prélevés le 14.10.65.

Courbe 1: Profondeur 0–5 cm

Courbe 2: Profondeur 50–75 cm.

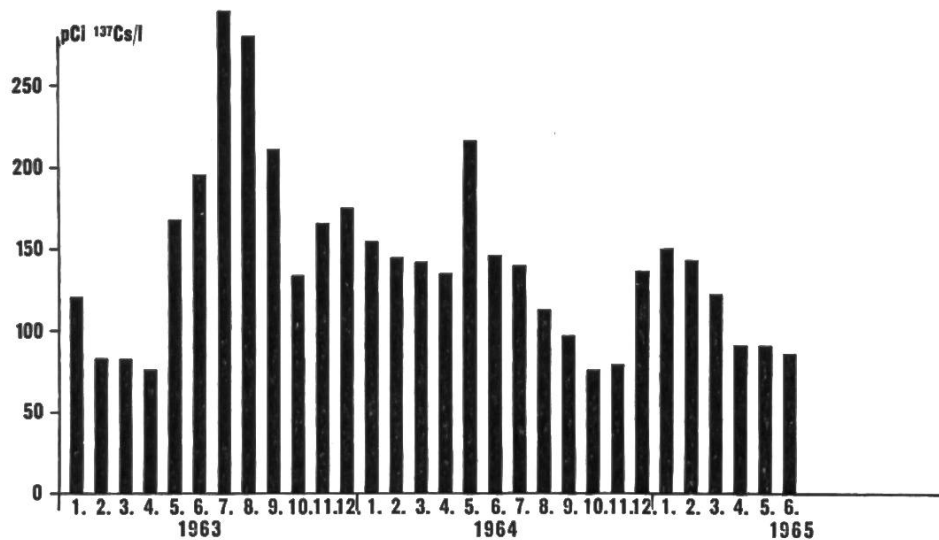
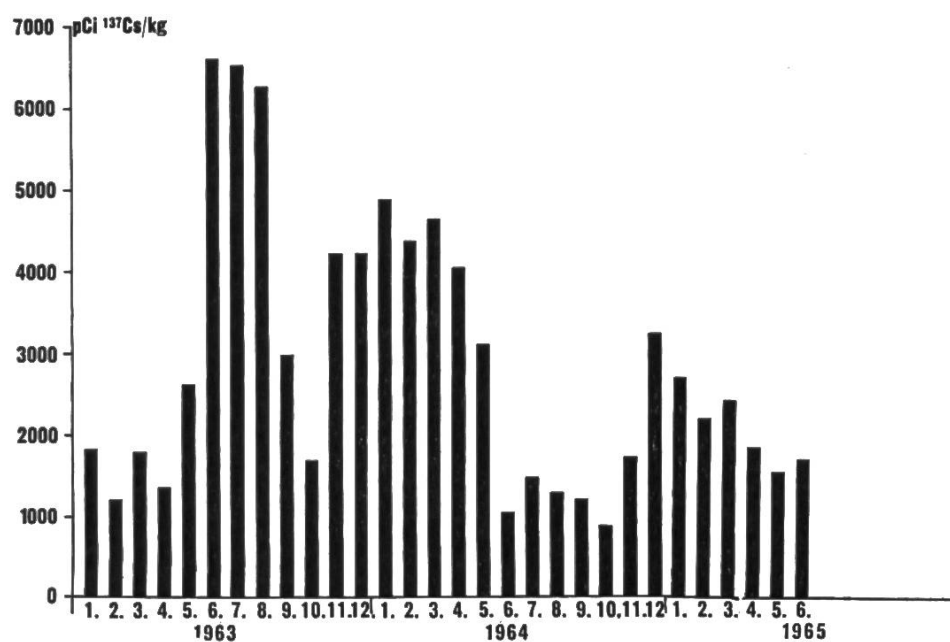


Fig. 8. Oben: Cs-137-Gehalt von Viehfutter (monatliche Probenahme), Ostschweiz 1963–1965.

Unten: Cs-137-Gehalt von Milch (monatliche Probenahme zwei Tage nach derjenigen des Futters), Ostschweiz 1963–1965.

Fig. 8. En haut: Teneur en Cs-137 du fourrage (prélèvement mensuel d'échantillons), Suisse orientale 1963–1965.

En bas: Teneur en Cs-137 dans le lait (prélèvement mensuel deux jours après celui du fourrage), Suisse orientale 1963 à 1965.

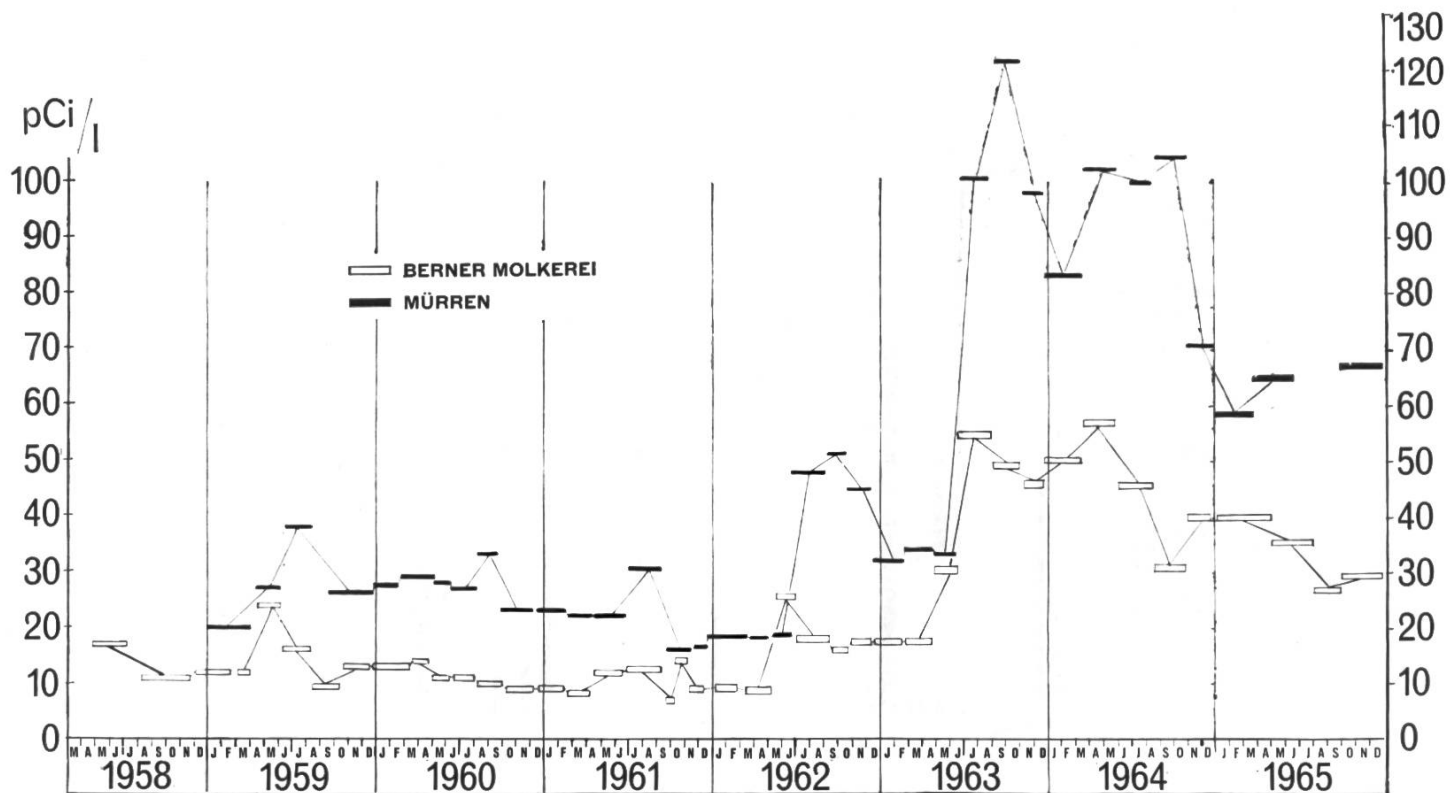


Fig. 9. Spezifische Strontium-90-Aktivität von Frischmilch aus dem Flachland (Bern 540 m) und aus einer Höhenlage (Mürren 1650 m).

Fig. 9. Activité spécifique du strontium-90 dans le lait frais de plaine (Berne 540 m) et de montagne (Mürren 1650 m).

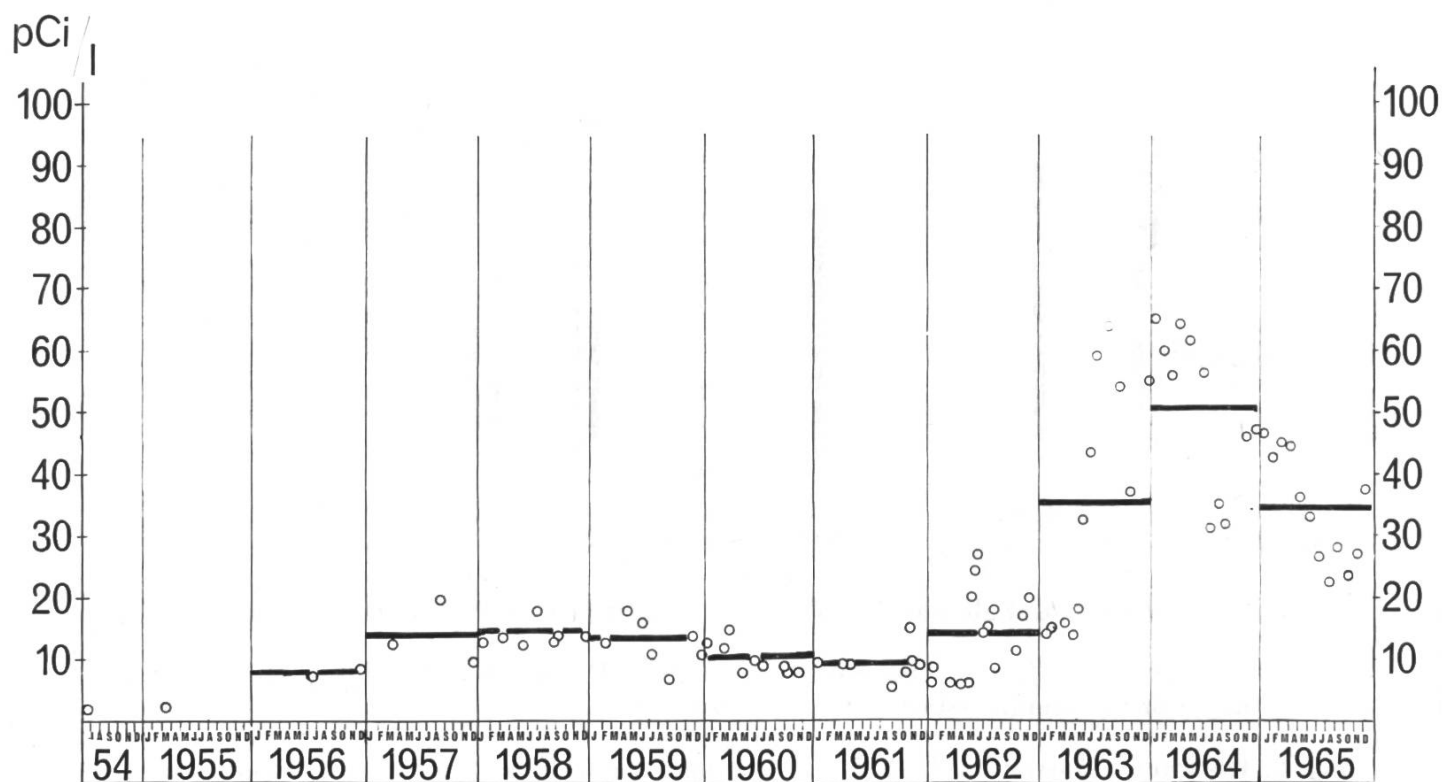
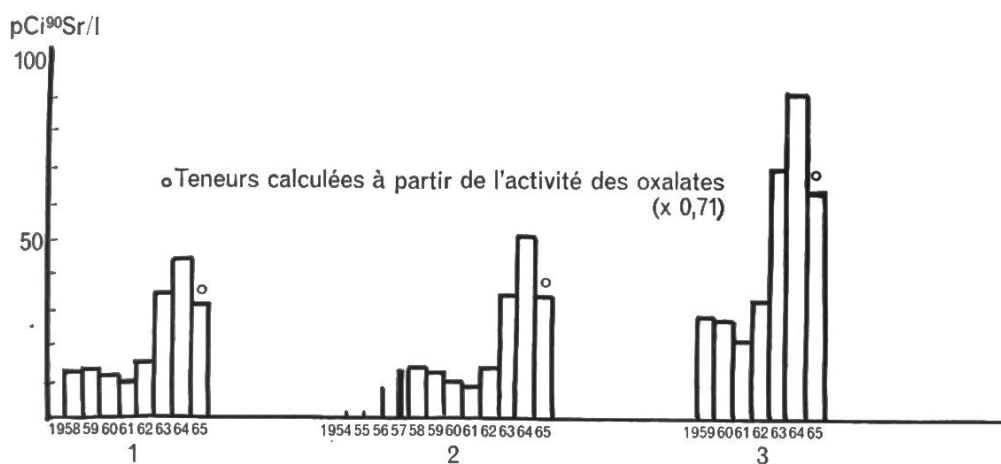


Fig. 10. Spezifische Strontium-90-Aktivität von Trockenmilch (Flachland) seit 1954 in Picocurie pro Liter Milch.

Fig. 10. Activité spécifique du strontium-90 dans le lait en poudre (plaine) depuis 1954, en picocurie par litre de lait.

a) Berner Molkerei, Kanton Waadt und Mürren  
Laiteries bernoises, canton de Vaud et Mürren



b) Andere Herkunft - autres provenances

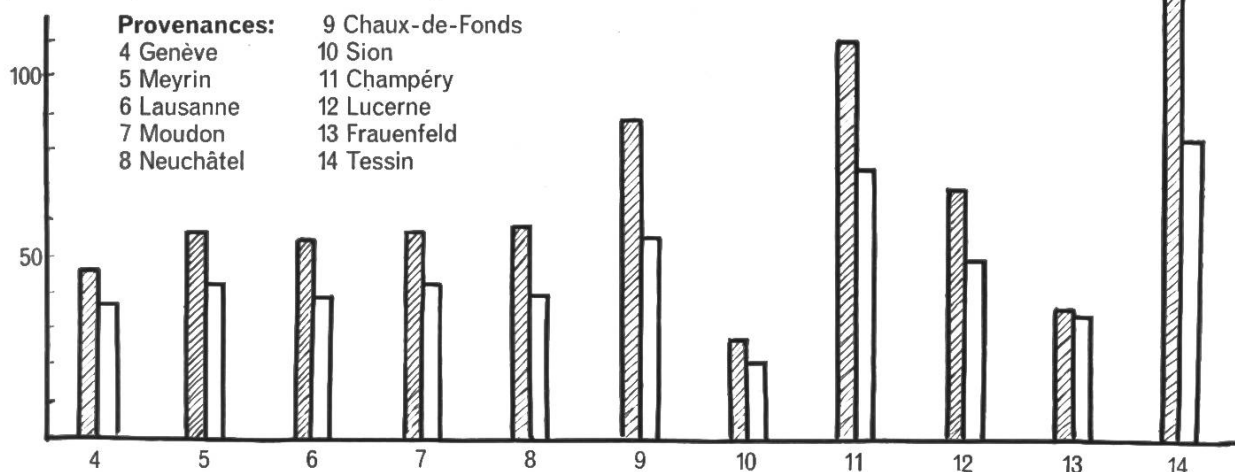


Fig. 11. a) Spezifische Strontium-90-Aktivität der Milch für die drei Probestellen Berner Molkerei, Kanton Waadt und Mürren.

b) Spezifische Strontium-90-Aktivität für die Jahre 1964 (schraffiert) und 1965 für elf weitere Probestellen.

Fig. 11. a) Teneur en strontium-90 du lait des trois provenances: Laiteries bernoises, canton de Vaud, Mürren.

b) Teneur en strontium-90 du lait de onze autres provenances, en 1964 (hachuré) et 1965.

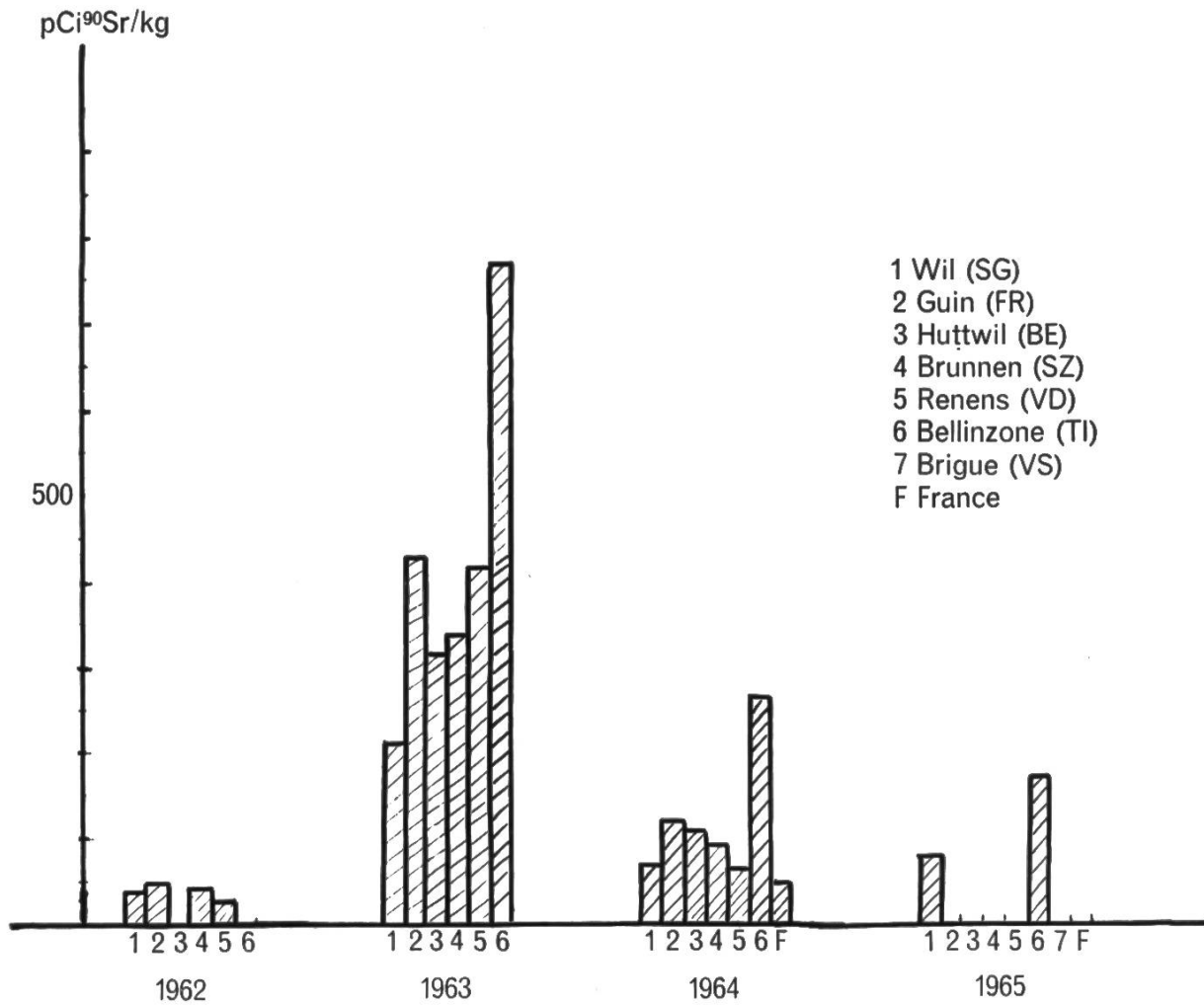


Fig. 12. Strontium-90-Gehalt von Weizen für die Jahre 1962–1965 für acht Herkunftsstellen: Wil (SG), Düdingen (FR), Huttwil (BE), Brunnen (SZ), Renens (VD), Bellinzona (TI), Brig (VS), France (F).

Fig. 12. Teneur en strontium-90 du froment de huit provenances: Wil (SG), Guin (FR), Huttwil (BE), Brunnen (SZ), Renens (VD), Bellinzona (TI), Brigue (VS), France (F), les années 1962–1965.

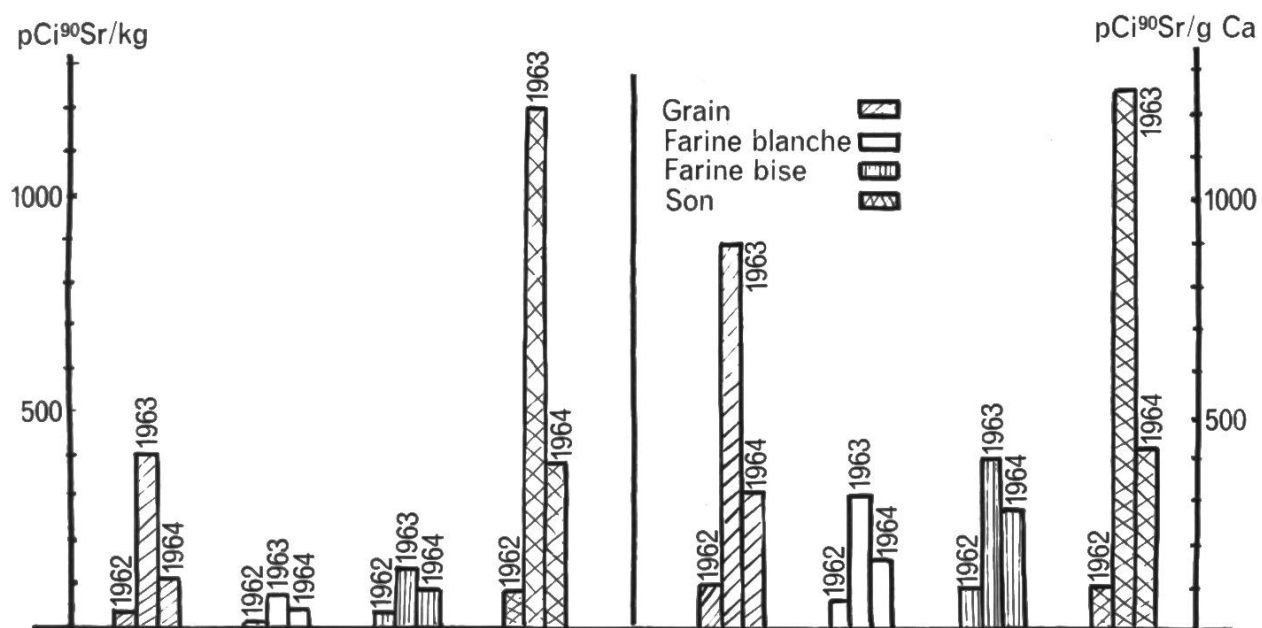


Fig. 13. Strontium-90-Aktivität von Weizen und Weizen-Mahlprodukten für sechs Herkunftsstellen.

Fig. 13. Teneur en strontium-90 du froment et de ses produits de mouture de six provenances.

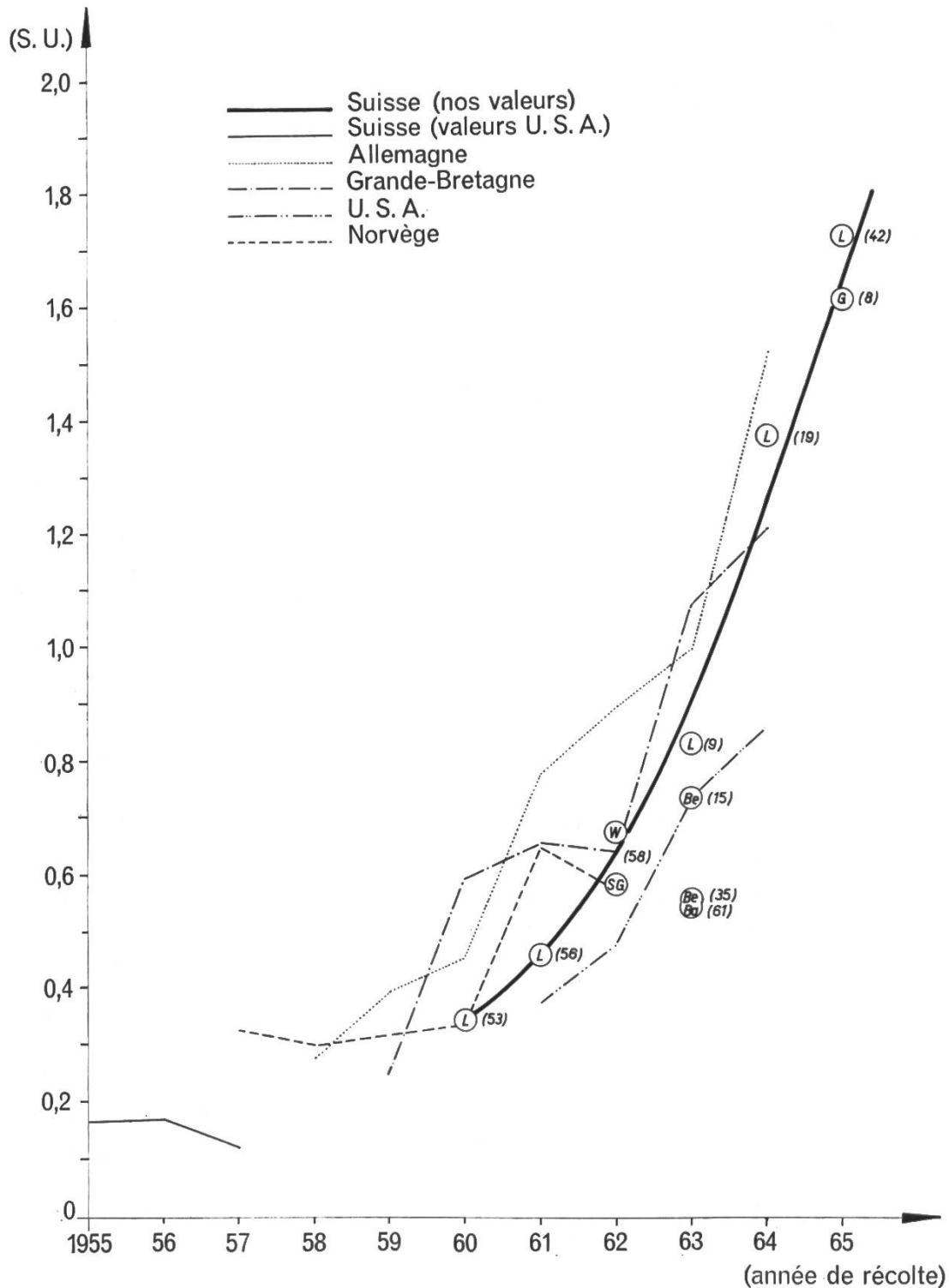


Fig. 14. Strontium-90-Analyse von Knochen Erwachsener für die Jahre 1955–65, angegeben in Strontium-Einheiten (S.E.), dazu Vergleichswerte aus Deutschland, England, Amerika und Norwegen. L = Lausanne, B = Basel, SG = St. Gallen, W = Winterthur, BE = Bern, G = Genf.

Fig. 14. Analyses du strontium-90 dans les os d'adultes pour les années 1955 à 1965, en unités strontium (s.u.), comparées aux valeurs d'Allemagne, d'Angleterre, d'Amérique et de Norvège. L = Lausanne, B = Bâle, SG = St-Gall, W = Winterthur, BE = Berne, G = Genève.